

پس‌پردازش آماری برونداد بارش الگوی RegCM4 روی شمال غرب ایران

نوذر قهرمان^{*} – دانشیار گروه مهندسی آبیاری و آبادانی، دانشکده مهندسی و فناوری کشاورزی، دانشگاه تهران
ایمان بابائیان – استادیار گروه پژوهشی تغییر اقلیم پژوهشکده اقلیم‌شناسی مشهد
مجید آزادی – دانشیار پژوهشکده هواشناسی و علوم جو
صدیقه لوکزاده – دانشجوی دکتری هواشناسی کشاورزی، گروه مهندسی آبیاری و آبادانی، دانشکده مهندسی و فناوری کشاورزی،
دانشگاه تهران

پذیرش مقاله: ۱۳۹۳/۱۱/۰۸ تأیید نهایی: ۱۳۹۴/۰۲/۱۶

چکیده

این پژوهش به منظور تعیین روش برتر پس‌پردازش آماری بارش حاصل از اجرای الگوی RegCM4 در شمال غرب انجام گرفت. داده‌های مورد نیاز اجرای الگوی RegCM4 شامل داده‌های باز تحلیل وضع جوی (NNRP1)، داده‌های دمای سطح دریا (SST) و داده‌های سطح زمین (SURFACE) از مرکز ICTP دریافت شد. به منظور اجرای این الگو، آزمون تعیین طرحواره هم رفت و جداسازی افقی مناسب انجام گرفت که با استناد به آن، طرحواره Kuo به نسبت دو طرحواره Grell و Emanuel خطای کمتری را در اجرای الگو سازی بارش منطقه داشت. جداسازی افقی نیز سی کیلومتر انتخاب شد. پس از اجرای الگو، برونداد بارش با استفاده از روش‌های شبکه پرسپترون چندلایه (MLP) و میانگین متحرک (MA) پس‌پردازش شد. براساس نتایج، اعمال پس‌پردازش روی داده‌های بارش خام سالانه الگو، موجب کاهش میانگین اریبی خطای داده‌های به دست آمده و رسیدن به رقم $8/9$ میلی‌متر شد؛ در حالی که این آماره برای برونداد خام سالانه الگو $124/3$ میلی‌متر بود. در مقیاس‌های زمانی فصلی و ماهانه نیز میانگین اریبی خطای بارش شبیه‌سازی به ترتیب برابر $31/1$ و $10/4$ میلی‌متر بود که پس از اعمال پس‌پردازش به روش‌های یادشده، این آماره به ترتیب به $4/3$ و صفر میلی‌متر رسیده است. روش برتر پس‌پردازش نیز در تمام مقاطع زمانی، MA بوده است.

کلیدواژه‌ها: پس‌پردازش، ریزگردانی دینامیکی، شبکه عصبی مصنوعی، طرحواره‌های بارش هم رفت، میانگین متحرک وزنی.

مقدمه

یکی از مشکلات اساسی در کاربرد الگوهای گردش عمومی جو (GCM) برای ارزیابی اثرهای منطقه‌ای، جداسازی مکانی پایین آنهاست که لازم است با استفاده از الگوهای دینامیکی یا آماری ریزگردانی شود. در عین حال، با توجه به وجود خطای نظاممند در برونداد این الگوها، اعمال پس‌پردازش ضروری است. فرانسیسکو (۲۰۰۳) با اجرای الگوی RegCM بر روی فیلیپین، سامانه پیش‌آگاهی سیل را در این کشور ایجاد کرد؛ به این ترتیب که داده‌های خروجی RegCM به مثابه داده‌های اولیه به یک الگوی هیدرولوژی وارد شد. افضل و حسین (۲۰۰۶) بارش مونسون سال ۱۹۹۲

پاکستان را با الگوی RegCM3 شبیه‌سازی کردند. براساس نتایج، مجموع بارش شبیه‌سازی شده، ۵۱ درصد بیشتر از داده‌های CRU و ۷۱ درصد بیشتر از داده‌های مشاهداتی بود؛ اما الگوی بارش روی منطقه با الگوی واقعی همخوانی داشت. الگوئندی و جورجی (۲۰۰۶) شبیه‌سازی‌هایی را با استفاده از الگوی RegCM4 برای دوره ۱۹۴۸–۱۹۹۰ به‌منظور بررسی واکنش سطح دریای خزر به تغییرات اقلیمی انجام دادند. آنها تغییرات ارتفاع سطح دریای خزر را با استفاده از معادله ساده هیدرولوژی پیش‌بینی کردند. در این پژوهش مشخص شد که الگو تغییرات مشاهده سطح دریای خزر با مقادیر الگوشده را به خوبی شبیه‌سازی کرده است؛ به‌طوری که همبستگی بین دو مقدار یادشده، ۰/۹۱ به‌دست آمد.

بابائیان و همکاران (۱۳۸۶) به حساسیت‌سنجی الگوی RegCM3 نسبت به طرحواره‌های مختلف بارش همرفت ماههای سرد سال‌های ۱۳۷۶ و ۱۳۷۹ روی ایران پرداختند. براساس نتایج پژوهش آنها، بارش شبیه‌سازی شده با طرحواره کو، برای جنوب شرق، شمال غرب و شمال غرب ایران و جنوب غرب خزر، با طرحواره امانوئل برای مرکز و غرب ایران و با طرحواره گرل برای شمال غرب ایران کمترین خطای را در برخواهد داشت. پال و همکاران (۲۰۰۷) توانمندی الگوی اقلیمی RegCM را در شبیه‌سازی بارش و دما در دو منطقه هندوستان و آمریکای جنوبی (آمازون) که دارای بارش‌های سنگین مونسونی است، بررسی کردند. آنها دریافتند که به کارگیری طرحواره گرل در منطقه آمریکای جنوبی موجب اریبی خشک (منفی) بارش به مقدار ده درصد در مقایسه با داده‌های CMAP می‌شود. در شبۀ جزیره هندوستان، با اینکه بیشتر الگوهای گردش عمومی جو، الگوهای بارش این منطقه را به‌خوبی الگوسازی نکردن، الگوی RegCM، نواحی با بارش بیشینه را در این ناحیه الگوسازی کرد. اسلام و همکاران (۲۰۰۷) در پژوهشی با استفاده از الگوی اقلیمی مقیاس منطقه‌ای RegCM3 به شبیه‌سازی متغیرهای هواشناسی در بنگلادش پرداختند. براساس نتایج شبیه‌سازی بارندگی فصلی، طرحواره گرل FC بارش دوره پیش مونسون را بیش از مقادیر واقعی و دوره مونسون را کمتر از مقدار واقعی تخمین زده است؛ در حالی که طرحواره گرل AS، شبیه‌سازی مناسبی نداشته است. شمیدلی و همکاران (۲۰۰۷) برای ریزگردانی بارش روزانه، شش الگوی ریزگردانی آماری (SDM) را با سه الگوی اقلیمی منطقه‌ای (RCM) در منطقه‌ای با توپوگرافی پیچیده مقایسه کردند. براساس نتایج این مقایسه، در فصل زمستان و در توپوگرافی‌های پیچیده، الگوهای RCM به‌طور معناداری نسبت به SDM عملکرد بهتری داشتند؛ در فصل تابستان، بر روی نقاط مسطح اختلاف‌ها کمتر بود. در تابستان، به‌طور کلی بین RCM‌ها اختلاف کمتر بود؛ اما بین SDM‌ها و بین RCM‌ها اختلاف شدید بود. میکسوسکی و همکاران (۲۰۱۰) روش‌های آماری را برای پس‌پردازش برونداد RCM به‌کار برندند. براساس نتایج این پژوهش، مقادیر حدی نه تنها با الگوهای اصلاحی ساده بلکه با روش‌های پیچیده نیز بهبودیافتندند. زانگ و وانگ (۲۰۱۱) به ارزیابی و تحلیل الگوی RegCM3 در شبیه‌سازی بارش تابستانه در حوضه رودخانه هوای هد در چین پرداختند. مقایسه مقدار و توزیع بارش با مقادیر مشاهداتی نشان داد که RegCM3 الگوی بارش و تغییرات سالانه آن را شبیه‌سازی می‌کند؛ اما شبیه‌سازی الگو برای تابستان ۲۰۰۳ برای توزیع مکانی بارش مناسب نبود و مقدار بارش را اندک‌تر برآورد کرد. برونداد و همکاران (۲۰۱۱) توانایی الگوی RegCM را برای شبیه‌سازی بارش فصلی در مولدابی ارزیابی کردند؛ برونداد الگو با داده‌های CRU TS2.1 و داده‌های مشاهداتی ایستگاهی مقایسه شد. براساس نتایج، این الگو به‌طور نظاممندی مجموع بارش سالانه را بیش از مقادیر مشاهداتی و

داده‌های CRU شبیه‌سازی کرد. پیت (۲۰۱۱) بارش ماهانه در غرب آفریقا را با یک الگوی اقلیمی منطقه‌ای شبیه‌سازی و با بارش دیدبانی مقایسه کرد؛ نتیجه حاکی از پیش‌بینی اندک‌تر الگو و عدم دستیابی به برخی جزئیات چرخهٔ فصلی بارش در جنوب منطقهٔ صحراء^۱ در آفریقای غربی بود. او از الگوی آماری (همبستگی خطی چندگانه) به منظور تعدیل داده‌های شبیه‌سازی به ویژگی بارش مشاهداتی، با کمک متغیرهای شبیه‌سازی شدهٔ سطحی مانند دما، فشار سطح دریا و مؤلفه‌های باد استفاده کرد. نتایج، بهبود اساسی در ناکارایی الگوی اقلیمی منطقه‌ای را نشان داد. ناندوزی و همکاران (۲۰۱۲) الگوی PRECIS را برای شبیه‌سازی بارش و دمای اوگاندا به کار بردن. براساس نتایج پژوهش آنها، این الگو سیگنال‌های جریان‌های بزرگ مقیاس که بارش و دما را در اوگاندا تحت تأثیر قرار می‌دهند، تا حد مناسبی به دست گرفت و شبیه‌سازی بارش و دما با آن، نسبت به GCMs بهبود یافت. ادنی (۲۰۱۳) در پژوهشی در غرب آفریقا با عنوان «حساسیت‌ستجی طرحواره‌های مختلف همرفتی» الگوی RegCM4 را به منظور شبیه‌سازی بارش استفاده کرد. نتایج پژوهش وی بیان کنندهٔ این است که تمام طرحواره‌های همرفتی از نوعی اریبی برخوردارند. طرحواره کو و گرل، بارش کمتری را در مقایسه با داده‌های مشاهداتی شبیه‌سازی کرد؛ در حالی که بارش تخمین‌زده شده به وسیلهٔ طرحواره امانوئل برای سپتامبر ۱۹۸۹ و ۱۹۹۸ بیشتر از مقدار مشاهداتی بود. فرانکو و کوپولا (۲۰۱۳) دما و بارش شبیه‌سازی با الگوی RegCM4 را ارزیابی کردند. نتایج بررسی‌های آنها حاکی از برآورد بیشتر بارش به وسیلهٔ الگو در مناطق کوهستانی بود. تورکو و همکاران (۲۰۱۳)، برونداد بارش الگوی COSMO-CLM را با چندین روش آماری پس‌پردازش کردند و به این نتیجه رسیدند که تمام روش‌ها موجب بهبود برونداد الگو می‌شود. بیشتر نتایج پژوهش‌های یادشده، حاکی از بیش برآورده بارش با طرحواره‌های مختلف در الگوی RegCM و دیگر الگوهای منطقه‌ای بوده و اعمال پس‌پردازش موجب بهبود نتایج شده است. آنچه در این پژوهش به آن پرداخته می‌شود، ریزگردانی با استفاده از الگوی RegCM4 است که به منظور افزایش صحت برونداد بارش، فرایند پس‌پردازش آماری انجام می‌گیرد.

مواد و روش‌ها

این پژوهش در حوزهٔ جغرافیایی خاورمیانه-آسیای شرقی در کشور ایران بر روی استان‌های آذربایجان شرقی، آذربایجان غربی و اردبیل انجام گرفته است؛ این استان‌ها در مجموع، با وسعتی بیش از ۱۰۰ هزار و ۵۰۲ کیلومترمربع در شمال غرب ایران، ۶/۱ درصد از مساحت کشور را به خود اختصاص داده‌اند. در این پژوهش، با توجه به دورهٔ آماری و آمار در دسترس داده‌های هواشناسی، بررسی‌ها بر روی چهار ایستگاه همدیدی سازمان هواشناسی در استان‌های یادشده شامل تبریز، ارومیه، خوی و اردبیل انجام گرفت. داده‌های لازم در اجرای الگوی منطقه‌ای اقلیمی RegCM4 از مرکز^۲ ICTP دریافت شد که شامل سه دسته داده‌های بازتحلیل وضع جوی NNRP1 در مقیاس روزانه (شش ساعته) با جداسازی افقی ۲/۵ درجه از پایگاه داده‌های بازتحلیل مرکز ملی پیش‌بینی محیطی آمریکا^۳، داده‌های دمای سطح دریا (SST) با

1. Sub-Saharan

2. International Centre for Theoretical Physics

3. NCEP/NCAR

شبکه‌بندی یک درجه از نوع OISST از سازمان ملی اقیانوس و جو آمریکا^۱ و داده‌های سطح زمین (SURFACE) که خود شامل سه نوع داده‌های توپوگرافی (GTOPO)، داده‌های پوشش گیاهی یا کاربری اراضی (GLCC) و داده‌های نوع خاک (NNRP1) با دقت سی ثانیه از سازمان زمین‌شناسی ایالات متحده آمریکا^۲ بود. دو دسته اول داده‌ها (GLZB) (SST) برای دوره زمانی ۱۹۸۲ تا ۲۰۱۱ دریافت شد. گروه دیگر از داده‌ها شامل مقادیر کمیت بارش دیده‌بانی به‌منظور بررسی توانمندی الگوی اقلیمی منطقه‌ای و اعمال پس‌پردازش در ایستگاه‌های سینوپتیک پیش‌گفته بود که از سازمان هواشناسی کشور (IRIMO) دریافت شد. توضیح این نکته ضروری است که برونداد بارش الگو، مجموع بارش بزرگ‌مقیاس و همرفت است؛ اما از آنجاکه بارش بزرگ‌مقیاس حاصل اندرکش سامانه‌های بزرگ‌مقیاس است و کمتر متأثر از عوارض سطحی و عوامل هواشناسی سطوح زیرین جو است، در الگوسازی‌های هواشناسی به‌ویژه الگوهای منطقه‌ای بیشتر به طرحواره‌های مختلف بارش همرفت پرداخته می‌شود. بنابراین، به‌منظور تعیین طرحواره مناسب همرفت، سالی با بارش معمولی در بین دوره شبیه‌سازی (۲۰۰۹) انتخاب و الگو با طرحواره‌های مختلف همرفت، در این سال اجرا شد. برای این منظور، با تهیه فایل اسکریپت متنی^۳ که خلاصه‌ای از آن در جدول ۱ ارائه شده است، اطلاعات اجرایی الگو از جمله فاصله نقاط شبکه بر حسب کیلومتر، طول و عرض جغرافیایی مرکز الگو و محدوده انتخابی الگو بر حسب درجه، تاریخ شروع و پایان شبیه‌سازی، نوع داده‌های ورودی و داده‌های بازتحلیل، گام زمانی الگو و نوع طرحواره‌های اجرایی ویرایش شد.

جدول ۱. خلاصه اسکریپت متنی (Namelist) اجرای الگوی RegCM4

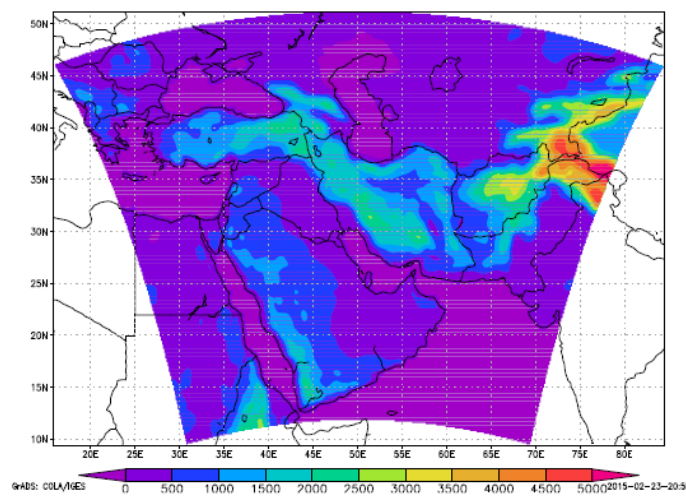
	iy=۱۵۲
dimparam	jx=۱۶۸
	kz=۱۸
geoparam	iproj=LAMCON ds=۳۰ clat=۳۰/۵ clon=۵۰
globdatparam	ssttyp=OI_WK dattyp>NNRP1 globidate1=۲۰۰۸۱۲۱۷۰۰ globidate2=۲۰۰۹۱۲۳۱۰۰
terrainparam	domname = shomalqarb lakedpth = true
timeparam	radfrq=۳۰ abemh=۱۸ abatm=۳۰۰ dt=۱۰۰

1. National Oceanic and Atmospheric Administration
2. United States Geological Survey
3. Namelist

بنابراین، در اجرای اولیه، الگو به مدت یک سال از تاریخ ۱۷ دسامبر ۲۰۰۸ تا ۳۱ دسامبر ۲۰۰۹، با زمان پایدارسازی^۱ پانزده روزه و با جداسازی های ۳۰ و ۹۰ و سپس با لانه گزینی جداسازی سی کیلومتر در خروجی های حاصل از جداسازی نود کیلومتر به صورت جداگانه با هر سه طرحواره گرل، کو و امانوئل موجود در کد RegCM4.1.1 (درمجموع دوازده اجرای جداگانه) با شرایط یکسان از داده های مرزی و اولیه به اجرا گذاشته شد. خلاصه نتایج مقایسه بارش ماهانه شبیه سازی با الگوی RegCM4 در سال ۲۰۰۹ با جداسازی افقی و طرحواره های مختلف همرفت و بارش مشاهداتی ۳۶ ایستگاه سینوپتیک شمال غرب ایران به وسیله آماره های میانگین اربیبی خطای و میانگین خطای نسبی در جدول ۲ آمده است.

جدول ۲. خلاصه نتایج اجرای آزمایشی الگوی RegCM4 در سال ۲۰۰۹ با جداسازی افقی و طرحواره های مختلف همرفت

جداسازی افقی (کیلومتر)	طرحواره	مانوئل	مانگین خطای نسبی (درصد)		۱۷۳/۷
۲۰	گرل	۱۵/۲	۷۰/۸	۱۷۳/۸	۳۵/۷
۳۰	کو	۴۰/۴	۱۰۴/۶	۹۴/۱	۲۴/۹
آزمایش شده در اجرای ۹۰		امانوئل	۵۹/۵	۱۶/۹	۴۳/۷
۳۰		گرل	۲۵۲/۵	۲۵/۴	۲۵/۷
۹۰		کو	۱۴۸/۲	۲۹/۴	۲۵/۴



شکل ۱. محدوده اجرای الگوی RegCM4

بر این اساس، طرحواره کو و جداسازی مکانی سی کیلومتر با کمترین خطا در مقایسه با مقدار بارش مشاهداتی برای اجرای اصلی انتخاب شد. همچنین، تعداد نقاط شبکه ۱۵۲ در عرض (iy) و ۱۶۸ در طول جغرافیایی (jx) و دوره آماری ۱۹۸۲ تا ۲۰۱۱ در نظر گرفته شد. مرکز محدوده جغرافیایی اجراشده در دوره مذکور در $30/5$ درجه عرض شمالی و ۵۰ درجه طول شرقی قرار گرفت. شکل ۱ محدوده اجرای الگو را نشان می‌دهد. برونداد الگو شامل داده‌های اتمسفری (ATM)، پوشش سطحی (SRF) و تابشی (TSR) است که هر کدام حاوی تعداد زیادی از متغیرهای هواشناسی است که از بین آنها به جز بارندگی حاصل از الگوی tpr، نه متغیر که بیشترین تأثیر را بر فرایند شکل‌گیری متغیر پیش‌بینی‌شونده (بارش) دارند، شامل omega₅₀₀، omega₁₀₀₀، u₅₀₀، u₁₀₀₀، v₅₀₀، v₁₀₀₀، t_{2m}، ps و q_{2m} استخراج شد.

برای پس‌پردازش برونداد الگو، از روش میانگین متحرک (MA)^۱ و روش شبکه عصبی مصنوعی (MLP)^۲ استفاده شد. در روش MA که از شاخص درجه موازنۀ جرم (DBM)^۳ استفاده می‌شود، تعیین مناسب‌ترین دورۀ زمانی گذشته (طول پنجره) با اهمیت است. این شاخص براساس رابطه ۱ و مقادیر بارش اصلاحی، با رابطه ۲ (مکالر و استول، محاسبه می‌شود).

$$DMB_n = \frac{\sum_{k=1}^n X_k^p}{\sum_{k=1}^n X_k^o} \quad (1)$$

$$QPF = \frac{DMO}{DMB_n} \quad (2)$$

DMB_n شاخص درجه موازنۀ جرم با طول پنجره n ؛ $\sum_{k=1}^n X_k^p$ مجموع بارش الگو با طول زمان n و $\sum_{k=1}^n X_k^o$ مجموع بارش مشاهداتی در همان زمان است.^۴ QPF مقدار بارش تصحیح شده الگو و DMO برونداد مستقیم الگوست. بنابراین، در هر مقطع زمانی به طور جداگانه، مناسب‌ترین طول پنجره (دورۀ زمانی گذشته) از نظر کمتر بودن میانگین اربی مقادیر پس‌پردازش شده انتخاب شد. خلاصه نتایج در جدول ۳ ارائه شده است. از آنجاکه در این پژوهش، مبنای انتخاب دوره‌های واسنجی و راستی آزمایی، تقسیم داده‌ها به صورت هشتاد و بیست درصد بوده است، داده‌ها به صورت انتخابی و نه تصادفی انتخاب شد.

برای ساختن شبکه عصبی مصنوعی نیز بر همین اساس سال‌های ۱۹۸۲ تا ۲۰۰۵ برای آموزش و ۲۰۱۱ تا ۲۰۰۶ برای آزمایش الگو در نظر گرفته شد. شبکه عصبی مصنوعی استفاده شده، پرسپترون چندلایه بود. شبکه‌های عصبی پرسپترون چندلایه، در زمرة کاربردی ترین شبکه‌های عصبی‌اند. این شبکه‌ها با انتخاب مناسب تعداد لایه‌ها و سلول‌های عصبی، نگاشت غیرخطی‌ای را متناسب با تابع هدف تعریفی انجام می‌دهند. در این شبکه‌ها، هر نورون در هر لایه، به

-
1. Moving Average
 2. Multi-Layer Perceptron
 3. Degree of Mass Balance
 4. Quantitative Precipitation Forecast
 5. Direct Model Output

تمام نورون‌های لایه پیشین متصل است. هر شبکه دولایه، از به هم پیوستن دو شبکه تک لایه ایجاد می‌شود؛ یکی لایه خروجی و دیگری لایه میانی. خروجی‌های لایه اول، بردار ورودی لایه دوم را تشکیل می‌دهد و خروجی‌های لایه دوم، پاسخ واقعی شبکه را تشکیل می‌دهد؛ به عبارتی روش‌تر، روند جریان سیگنالی در شبکه، در مسیری پیشخور صورت می‌گیرد.

در این پژوهش، متغیرهای ورودی شامل ده متغیر پیش‌گفته به دست آمده از اجرای الگوی RegCM4 بود و متغیر هدف نیز بارش دیدبانی بود. مفروض‌هایی نیز برای تشکیل شبکه عصبی پرسپترون چندلایه در نظر گرفته شد و براساس آن، چندین اجرا صورت گرفت و درنتیجه، بهترین اجرا از نظر حساسیت تحلیل شد تا مناسب‌ترین ساختار مشخص شود. به این ترتیب، تعداد لایه‌های مخفی برابر ۲، تعداد نورون‌های لایه مخفی اول متغیر از ۵ تا ۵ و نورون‌های لایه دوم با توجه به وجود یک خروجی در الگو، ۱ عدد در نظر گرفته شد. تعداد تکرارها برابر ۱۰۰،تابع انتقال (TF) در لایه اول یکی از دو تابع tansig و radbas (براساس آزمون‌های انجام‌گرفته) و لایه دوم purelin، الگوریتم آموزش trainlm و تابع هدف، ریشه میانگین مربعات خطأ (RMSE) انتخاب شد. جدول ۴ ساختار شبکه نهایی را نشان می‌دهد.

جدول ۳. تعیین بهترین طول دوره زمانی گذشته براساس کمترین میانگین اریبی

طول دوره منتخب				ایستگاه سینوپتیک
سالانه (بیشینه) ۲۴۰	فصلی (بیشینه) ۵۰	ماهانه (بیشینه) ۱۱		تبریز
۲۸۸	۹۶	۲۴		اردبیل
۷	۳	۵		ارومیه
۱۳۰	۴۰	۱۰		خوی

جدول ۴. تعداد نورون‌های لایه مخفی و تابع انتقال براساس نتیجه اجراهای متعدد

مقطع زمانی												ایستگاه سینوپتیک
ماهانه	ماهانه	ماهانه	ماهانه	ماهانه	ماهانه	ماهانه	ماهانه	ماهانه	ماهانه	ماهانه	ماهانه	تعداد
نورون‌های لایه مخفی	۲	۲	۳	۳	۴	۲	۴	۲	۵	۲	۳	۲
tansig	tansig	Tansig	radbas	tansig	tansig	Radbas	tansig	tansig	tansig	tansig	radbas	تابع انتقال

به منظور بررسی دقت و برآورد مقدار خطای پیش‌بینی در مقایسه با بارش دیدبانی، از شاخص‌های آماری میانگین خطای اربی^۱، میانگین خطای نسبی^۲، میانگین خطای مطلق^۳ و ضریب همبستگی (رابطه‌های ۳ تا ۷) استفاده شد (والاج و همکاران، ۲۰۰۶)؛ اما با توجه به اینکه هدف از الگوهای اقلیمی، اطلاع از شرایط کلی بارش است، آنچه در این پژوهش ملاک مقایسه روش‌ها برای تعیین کارترین قرار گرفت، شاخص آماری میانگین اربی خطا بود.

$$MBE = \frac{1}{n} \sum_{i=1}^n (p_i - o_i), \quad (3)$$

$$MRE = \frac{1}{n} \sum_{i=1}^n \frac{(p_i - o_i)}{o_i}, \quad (4)$$

$$MAE = \frac{1}{n} \sum_{i=1}^n |p_i - o_i|, \quad (5)$$

$$RMSE = \sqrt{\frac{1}{n} \sum_{i=1}^n (p_i - o_i)^2}, \quad (6)$$

$$r = \frac{\sum_{i=1}^n [(o_i - \bar{o})(p_i - \bar{p})]}{\left[\sum_{i=1}^n (o_i - \bar{o})^2 \sum_{i=1}^n (p_i - \bar{p})^2 \right]^{0.5}}, \quad (7)$$

در این رابطه‌ها، O_i بارش مشاهداتی؛ p_i بارش الگو و n تعداد داده‌هاست.

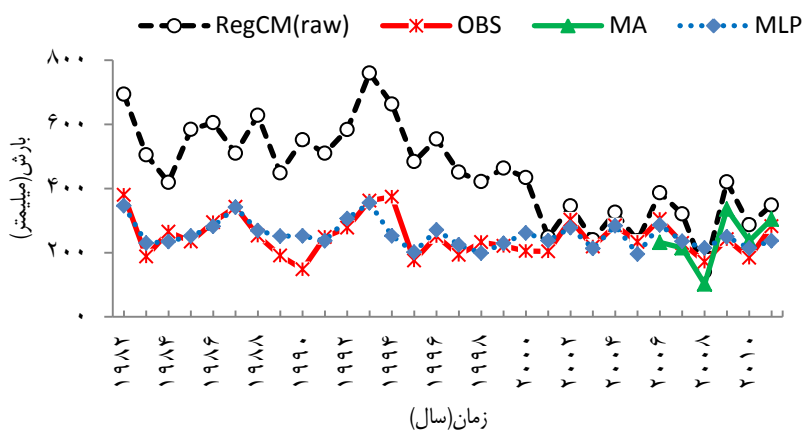
یافته‌های پژوهش

همان‌طور که گفته شد، پس از اجرای الگوی RegCM4، به غیر از متغیر بارش، نه متغیر از میان متغیرهای مختلف که بیشترین تأثیر را بر فرایند شکل‌گیری بارش داشتند، با نوشتن اسکریپت در نرم‌افزار GrADS به صورت ماهانه استخراج شد و در الگوهای پس‌پردازش بارش، از آنها استفاده شد. مقاطع زمانی بررسی شده برای این‌منظور، ماهانه، فصلی و سالانه بود. گفتنی است هشتاد درصد داده‌ها در هر مقطع زمانی برای آموزش و بیست درصد برای راستی‌آزمایی این الگو به کار رفت. شکل‌های ۲ تا ۴ کارایی الگوی RegCM4 را پیش و پس از پس‌پردازش در پیش‌بینی بارش سالانه، فصلی و ماهانه تبریز (برای نمونه) نمایش می‌دهد. نکته شایان توجه، هماهنگی افت و خیزهای برونداد خام الگوی RegCM4 با داده‌های مشاهداتی در بیشتر سال‌ها و فصل‌ها (به جز ماههای گرم سال) است.

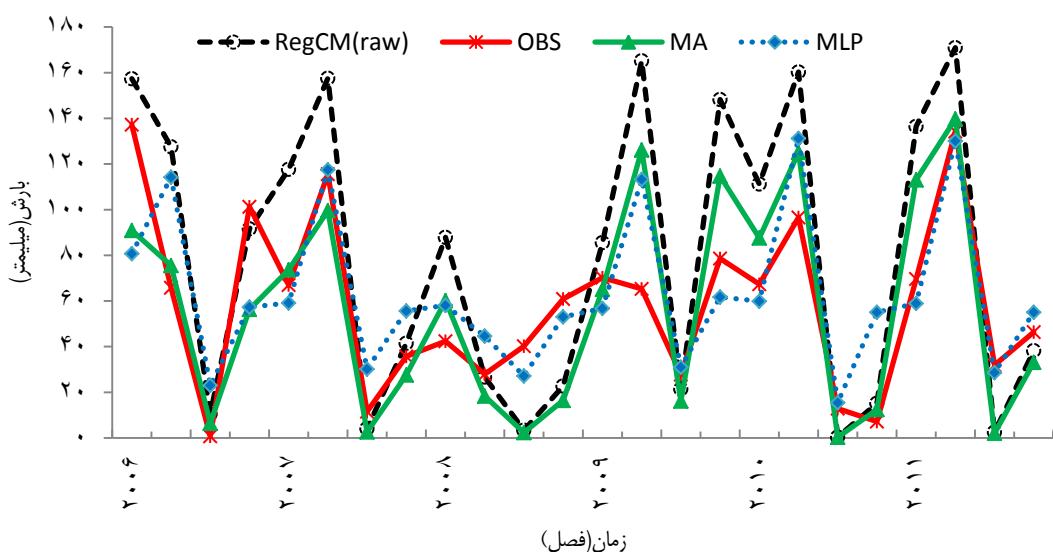
در جدول‌های ۵ تا ۷، مقادیر سنجه‌های استفاده شده برای راستی‌آزمایی الگوی RegCM4 در مقایسه با داده‌های

1. Mean Bias Error
2. Mean Relative Error
3. Mean Absolute Error

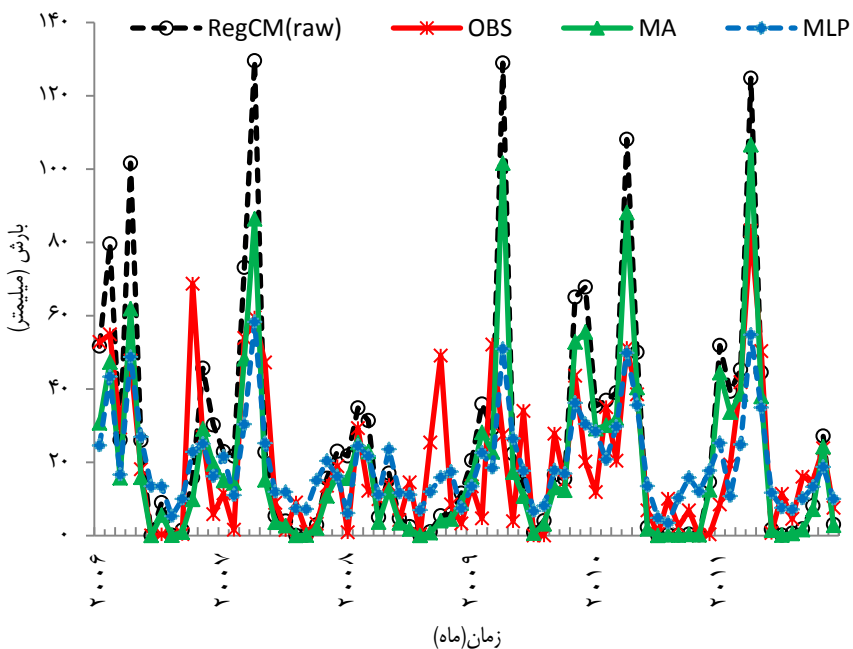
دیدبانی، پیش و پس از فرایند پس پردازش برای همه ایستگاهها و مقاطع زمانی ارائه شده است. همان طور که ملاحظه می شود از دیدگاه شاخص میانگین اربیبی و خطای نسبی اعمال پس پردازش بر روی بارش سالانه تبریز، به کاهش این دو سنجه به ترتیب از $81/64$ میلی متر و $34/64$ درصد به $2/01$ میلی متر و $85/0$ درصد با روش MA در مقایسه با برونداد خام الگو منجر شد.



شکل ۲. نمودار الگوسازی بارش سالانه ایستگاه تبریز با استفاده از الگوی منطقه‌ای RegCM4 و اعمال پس پردازش در دوره راستی‌آزمایی و اسننجی



شکل ۳. نمودار الگوسازی بارش فصلی ایستگاه تبریز با استفاده از الگوی منطقه‌ای RegCM4 و اعمال پس پردازش در دوره راستی‌آزمایی. ترتیب فصل‌ها روی محور افقی، زمستان، بهار، تابستان و پاییز است.



شکل ۴. نمودار الگوسازی بارش ماهانه ایستگاه تبریز با استفاده از الگوی منطقه‌ای RegCM4 و اعمال پس‌پردازش در دوره راستی‌آزمایی. ترتیب ماهها روی محور افقی، از ژانویه تا دسامبر است.

با اعمال پس‌پردازش آماری MA بر روی بارش شبیه‌سازی شده سالانه در ایستگاه اردبیل نیز $375/02$ میلی‌متر اریبی و $167/46$ درصد خطای نسبی به ترتیب به $0/7$ - میلی‌متر و $0/31$ - درصد تقلیل یافت. اعمال پس‌پردازش MA در ایستگاه خوی در همین مقطع زمانی نیز سبب بهبود برونداد الگوی دینامیکی شد؛ به‌طوری که اریبی از $89/32$ به $7/07$ میلی‌متر و خطای نسبی از $32/24$ به $2/63$ درصد کاهش یافت. در ایستگاه ارومیه، روش MLP آماره‌های میانگین اریبی و درصد خطای نسبی را به ترتیب از $48/84$ - میلی‌متر به $27/1$ - میلی‌متر و $14/68$ - درصد به $8/15$ - درصد بهبود بخشدید. روش MA نیز همین مقادیر را با بیش برآورده به دست داد.

براساس جدول ۶ اعمال پس‌پردازش بر روی بارش فصلی تبریز، به کاهش میانگین اریبی از $20/41$ میلی‌متر به $2/03$ - با روش MA در مقایسه با برونداد خام الگو منجر شد. با اعمال پس‌پردازش آماری MA بر روی بارش شبیه‌سازی شده فصلی در ایستگاه اردبیل نیز $93/76$ میلی‌متر اریبی به $0/38$ - میلی‌متر تقلیل یافت. اعمال پس‌پردازش به روش MLP در ایستگاه خوی در همین مقطع زمانی نیز سبب بهبود برونداد الگوی دینامیکی شد؛ به‌طوری که اریبی از $22/33$ به $1/63$ میلی‌متر کاهش یافت. اما در ایستگاه ارومیه، نتیجه اعمال پس‌پردازش با روش MLP رضایت‌بخش نبود؛ به‌طوری که برونداد خام الگوی دینامیکی به مقادیر مشاهداتی نزدیک‌تر بود. اما روش MA آماره‌های میانگین اریبی را از $12/21$ - میلی‌متر به $1/2$ - میلی‌متر بهبود بخشدید.

جدول ۵. سنجدهای آماری پس پردازش بارش سالانه شبیه سازی شده با الگوی RegCM4 در دوره راستی آزمایی (۲۰۱۱-۲۰۰۶)

ضریب همبستگی با دیدبانی	میانگین خطای مطلق (میلی متر)	میانگین خطای مربعات خطای مطلق (میلی متر)	میانگین خطای مربعات خطای نسبی (درصد)	میانگین اریبی نسبی (میلی متر)	الگوها	ایستگاه سینوپتیک
۰/۷۶	۹۱/۸۷	۱۰۲/۳	۳۴/۶	۸۱/۶۴	RegCM4	تبریز
۰/۵۷	۵۴/۱۵	۶۱/۰۴	۰/۸۵	۲/۰۱	MA	
۰/۸۷	۲۵/۰۳	۲۹/۵	۱/۵۹	۳/۷۵	MLP	
-۰/۰۵	۳۷۵/۰۲	۳۸۲/۹۳	۱۶۷/۴۶	۳۷۵/۰۲	RegCM4	اردبیل
۰/۳۲	۲۷/۹۱	۳۳/۸۴	-۰/۳۱	-۰/۷	MA	
۰/۵۵	۳۵/۰۲	۴۳/۵۶	۱۵/۶۲	۳۴/۹۸	MLP	
۰/۴۲	۷۵/۶۱	۸۹/۷۱	-۱۴/۶۸	-۴۸/۸۴	RegCM4	ارومیه
۰/۲۳	۸۴/۸۳	۱۰۳/۸۹	-۸/۱۵	-۲۷/۱۲	MA	
۰/۳۹	۶۲/۳۶	۶۶/۰۵	-۸/۱۵	۲۷/۱	MLP	
۰/۶۱	۹۹/۳۳	۱۱۴/۹۸	۳۳/۲۴	۸۹/۳۲	RegCM4	خوی
۰/۶	۶۰/۲۴	۷۰/۵۹	۲/۶۳	۷/۰۷	MA	
۰/۰۱	۳۰/۷۶	۳۸/۴۰	-۵/۰۰	-۱۳/۴۴	MLP	

جدول ۶. سنجدهای آماری پس پردازش بارش فصلی شبیه سازی شده با الگوی RegCM4 در دوره راستی آزمایی (۲۰۱۱-۲۰۰۶)

ضریب همبستگی با دیدبانی	میانگین خطای مطلق (میلی متر)	میانگین خطای مربعات خطای مطلق (میلی متر)	میانگین خطای مربعات خطای نسبی (درصد)	میانگین اریبی نسبی (میلی متر)	الگوها	ایستگاه سینوپتیک
۰/۸۵	۳۲/۸۹	۴۱/۷۲	۳۴/۶۴	۲۰/۴۱	RegCM4	تبریز
۰/۸	۲۲/۰۱	۲۷/۴۷	-۳/۴	-۲/۰۳	MA	
۰/۷۵	۱۹/۷۴	۲۵/۸۹	۷/۳۱	۴/۳۱	MLP	
۰/۷۵	۹۷/۳۵	۱۱۸/۱۷	۱۶۷/۴۶	۹۳/۷۶	RegCM4	اردبیل
۰/۷۷	۱۹/۰۸	۲۲/۲۳	۰/۶۸	۰/۳۸	MA	
۰/۶۱	۲۰/۴۶	۲۶/۸۵	۷/۵۹	۴/۲۵	MLP	
۰/۷۹	۲۵/۳۶	۳۸/۲۷	-۱۴/۶۸	-۱۲/۲۱	RegCM4	ارومیه
۰/۷۴	۳۹/۵۷	۴۹/۸۸	-۱/۴۸	-۱/۲	MA	
۰/۸	۲۷/۹۳	۳۶/۶۶	-۱۸/۱۸	-۱۵/۱۲	MLP	
۰/۷۴	۳۶/۸۶	۴۸/۹۵	۳۳/۲۴	۲۲/۳۳	RegCM4	خوی
۰/۷۴	۲۸/۴۵	۳۵/۳۲	۳/۹۵	۲/۶۵	MA	
۰/۹۱	۱۳/۸۱	۱۶/۹۶	۲/۴۳	۱/۶۳	MLP	

در مقیاس ماهانه، اعمال پس‌پردازش به روش MA برای تمام ایستگاه‌ها مؤثر واقع شد؛ به طوری که براساس نتایج مندرج در جدول ۷، در ایستگاه تبریز به کاهش میانگین اربیی خطای $6/8$ میلی‌متر به $1/0$ میلی‌متر در مقایسه با برونداد خام الگو منجر شد، در ایستگاه اردبیل نیز $31/3$ میلی‌متر اربیی به $0/2$ میلی‌متر تقلیل یافت. اعمال پس‌پردازش در ایستگاه خوی، اربیی را از $7/4$ به $1/0$ میلی‌متر رساند. در ایستگاه ارومیه نیز که نتیجه اعمال پس‌پردازش با روش‌های MLP به کم‌برآورده بیشتر بارش در مقایسه با برونداد خام الگوی RegCM منجر شد، با این روش میانگین اربیی از $4/1$ میلی‌متر به $-0/4$ میلی‌متر رسید. بنابراین، روش MA نیز بارش را با کم‌برآورده اما با شدت کمتری نسبت به برونداد خام و دو روش پس‌پردازش به‌دست داد. گفتنی است دیگر سنجه‌های آماری محاسباتی نیز کم‌وبیش همین نتایج را تأیید می‌کنند.

جدول ۷. سنجه‌های آماری پس‌پردازش بارش ماهانه شبیه‌سازی شده با الگوی RegCM4 در دوره راستی‌آزمایی (۲۰۰۶-۲۰۱۱)

ایستگاه سینوپتیک	الگوها	میانگین اربیی (میلی‌متر)	میانگین خطای نسبی (درصد)	میانگین خطای خطا (میلی‌متر)	میانگین خطای مطلق (میلی‌متر)	ضریب همبستگی با دیدبانی
تبریز	RegCM4	$6/8$	$34/6$	$24/2$	$15/4$	$0/69$
	MA	$0/1$	$0/5$	$18/2$	$11/8$	$0/67$
	MLP	$-8/6$	$-0/55$	$16/5$	$11/4$	$0/73$
اردبیل	RegCM4	$31/3$	$167/5$	$51/0$	$35/2$	$0/64$
	MA	$0/2$	$11/0$	$15/0$	$11/0$	$0/65$
	MLP	$3/1$	$16/87$	$14/6$	$11/8$	$0/59$
ارومیه	RegCM4	$-4/1$	$-14/7$	$22/9$	$13/2$	$0/7$
	MA	$-0/4$	$-1/5$	$28/6$	$17/3$	$0/59$
	MLP	$-6/0$	$-21/7$	$24/3$	$15/9$	$0/62$
خوی	RegCM4	$7/4$	$33/2$	$26/2$	$17/8$	$0/63$
	MA	$0/1$	$0/3$	$20/3$	$15/0$	$0/62$
	MLP	$-3/6$	$-16/0.3$	$15/6$	$11/5$	$0/69$

نتیجه‌گیری

براساس نتایج، در منطقه بررسی شده در دوره راستی‌آزمایی ۲۰۱۱-۲۰۰۶ میانگین اربیی بارش سالانه خام الگوی RegCM4 برابر $124/3$ میلی‌متر بود؛ در حالی که ایستگاه اردبیل با میانگین اربیی $375/0/2$ میلی‌متر، بیشترین خطای (اربیی مثبت) و ارومیه کمترین خطای اربیی منفی برابر $-48/84$ را داشت. به‌طور خلاصه، در این دوره در مقیاس زمانی سالانه در تمام ایستگاه‌های بررسی شده، اعمال پس‌پردازش مؤثر واقع شد و ۷۵ درصد ایستگاه‌ها روش MA را کاراتر معرفی کردند. در ۲۵ درصد نیز دو روش تفاوتی نداشتند. متوسط میانگین اربیی خطای بعد از اعمال روش‌های پس‌پردازش MLP و MA در محدوده بررسی شده، به ترتیب $-4/7$ و $13/1$ میلی‌متر بود.

در مقیاس فصلی، متوسط اربیی خطای محدوده در دوره راستی آزمایی برابر $31/1$ میلی متر بود که پس از اعمال پس پردازش به شدت کاسته شد؛ ضمن اینکه در این مقیاس زمانی نیز روش MA برتر بود. متوسط میانگین اربیی خطای روش‌های MA و MLP در محدوده بررسی شده به ترتیب $-0/05$ و $-1/2$ میلی متر بود.

در مقیاس زمانی ماهانه، متوسط اربیی در ایستگاه‌های بررسی شده $10/4$ میلی متر بود و اعمال پس پردازش با کاربرد روش منتخب هر ایستگاه به کاهش آن و رسیدن به رقم صفر منجر شد. روش برتر پس پردازش نیز مانند دیگر مقاطع زمانی MA بود. متوسط میانگین اربیی روش‌های MA و MLP در محدوده بررسی شده، به ترتیب صفر و $3/8$ میلی متر بود. در جمع‌بندی کلی می‌توان گفت که الگوی اقلیمی منطقه‌ای RegCM4 در پیش‌بینی بارش، به طور عمده بیش برآورده دارد؛ اما اعمال پس پردازش میانگین اربیی را به طور چشمگیری کاهش می‌دهد. مناسب‌ترین روش نیز روش ساده میانگین متحرک است و الگوهای پیچیده برای این امر ضرورتی ندارد. نتیجه با پژوهش‌های انجام گرفته در مناطق مختلف کشور، چه در زمینه کارابی الگوی RegCM و چه در زمینه اعمال پس پردازش انطباق دارد؛ برای نمونه پژوهش انجام گرفته برای پیش‌بینی بارش فصلی در استان فارس (محمدی و زرین، ۱۳۹۲) در $57/1$ درصد موارد، کاربست الگوی RegCM4 و $33/3$ درصد موارد، اعمال پس پردازش را تأیید می‌کند. روش پس پردازش در این پژوهش، رگرسیون چندگانه خطی بوده است. همچنین در پژوهشی دیگر (آزادی و همکاران، ۱۳۸۹) که برونداد الگوی WRF برای بارندگی‌های $24/2$ ساعته با دو روش بهترین برآورد کننده نظام‌مند (BES) و میانگین لغزان (MA) برای $20/5$ ایستگاه هواشناسی تصحیح و پس پردازش شد، هر دو روش پس پردازش استفاده شده، برونداد مستقیم الگو را بهبود بخشدند. بنابراین، در نهایت می‌توان پیشنهاد کرد اعمال پس پردازش روی برونداد مستقیم بارش - چه مقاطع زمانی کوتاه‌مدت و چه بلند‌مدت - به دلیل وجود خطای نظام‌مند، ضروری است و از بین روش‌های مختلف، کاربست روش MA افزون بر داشتن مزیت‌های سهولت انجام گرفتن و سرعت در آن و عدم نیاز به متغیرهای مختلف هواشناسی، روش کاراست.

منابع

- آزادی، م، شیرغلامی، م.ر. و حجام، س. (۱۳۸۹). «پس پردازش برونداد مدل WRF برای بارندگی در ایران». مجموعه مقالات چهاردهمین کنفرانس ژئوفیزیک ایران، ۲۱-۲۳ اردیبهشت. مؤسسه ژئوفیزیک. ص ۹۱-۹۴.
- بابائیان، ا، مدیریان، ر، کریمیان، م. و حبیبی نوختان، م. (۱۳۸۶). «شبیه‌سازی بارش ماههای سرد سال‌های 1376 و 1379 با استفاده از مدل اقلیمی RegCM3». مجله جغرافیا و توسعه. ش. 10 . ص ۵۵-۷۲.
- محمدی، ف. و زرین، آ. (۱۳۹۲). «پیش‌بینی فصلی بارش استان فارس با مدل RegCM». پایان‌نامه کارشناسی ارشد رشته اقلیم‌شناسی مشهد: دانشگاه فردوسی مشهد. گروه جغرافیا.
- Adeniyi, M.,O. (2013). "Sensitivity of different convection schemes in RegCM4.0 for simulation of precipitation during the Septembers of 1989 and 1998 over West Africa". Theor Appl Climatol.
- Afzaal, M. and Hussain, A. (2006). "Numerical Simulation of Summer Monsoon Precipitation of 1992 Over Pakistan". *Pakistan Journal of Meteorology*. Vol. 3. No. 5.
- Azadi, M., Shirqolami, M.R. and Hajjam, S. (2010). "Post processing of WRF model output for Iran precipitation". *14 th geophysic conference*. pp. 91-94. (In Persian).
- Babaeian, I., Modirian, R., Karimian, M., and Habibi Nokhandan, M. (2007). "Simulation of precipitation on cold months for 1997 and 2000 with RegCM3 climate model". *Journal of Geography and Development*. No. 10. pp. 55-72. (In Persian).

- Boroneant, C., Potop, V. and Caian, M. (2011). "Validation of RegCM precipitation simulation over Republic of Moldova, Application for Standard Precipitation Indices calculated for the period 1960-1997". *Source and Limit of Social Development*. International Scientific Conference. 6th–9th September 2011. Topolcianky. Slovakia.
- Elguindi, N. and Giorgi, F. (2006). "Simulating Multi-decadal Variability of Caspian Sea Level Changes Using Regional Climate Model Outputs". *Climate Dynamics*. Vol. 26. pp. 167-181.
- Francisco, R. (2003). "Some Experiments in Running the RegCM over the Philippines, ICTP Workshop on the Theory and Use of Regional Climate Models". Trieste Italy.
- Fuentes-Franco, R., and Coppola, E. (2013). "Assessment of RegCM4 simulated inter-annual variability and daily-scale statistics of temperature and precipitation over Mexico". *Clim Dyn*. Vol. 42. pp. 629-647.
- ICTP/RegCM4 Homepage <http://www.ictp.trieste.it/~pubregcm/>
- Islam, N., Rahman, M., Uddin Ahmed, A.U. and Afroz, R. (2007). "Comparison of RegCM3 simulated meteorological parameters in Bangladesh". Part I-preliminary result for rainfall. *Sri Lankan Journal of Physics*. Vol. 8. pp. 1-9.
- McCOLLER D. and STULL R. (2008). "Hydrometeorological Accuracy Enhancement via Postprocessing of Numerical Weather Forecasts in Complex Terrain". *American Meteorological Society*. pp. 131-144
- Miksovsky, J.; Skalak, P. and Stepanek, P. (2010). "Intercomparison of statistical techniques for postprocessing the RCM-generated data". *10th EMS Annual Meeting. 10th European Conference on Applications of Meteorology (ECAM) Abstracts*.
- Mohammadi, F. and Zarrin, A. (2013). "Prediction of seasonal precipitation on Fars with RegCM model". *Thesis for degree of M.Sc.in climatology*. Mashhad: Ferdowsi University. (In Persian).
- Nandozi, C.S. Majaliwa, J.G.M., Omondi, P., Komutunga, E., Aribi, L., Isubikalu, P., Tenywa, M.M and Massa-Makuma, H. (2012). "Regional Climate Model Performance and of seasonal rainfall and surface temperature of Uganda". *African Crop Science Journal*. Vol. 20. pp. 213-225.
- Paeth, H. (2011). "Postprocessing of simulated precipitation for impact research in West Africa, Part I: model output statistics for monthly data". *Climate Dynamics*. DOI. Vol. 36. No. 7. pp. 1321-1336.
- Pal, J., Giorgi, F., BiX., Elguindi, N., Salmon, F., Gao X., Rauscher, S. A., Francisco, R., Zakey, A., Winter, J., Ashfagh, M., Syed, F.S., Bell, J., Diffenbaugh, J.K., Konare, A., Martinez, D., Rocha, R., Sloan, L. and Steiner, A. (2007). "Regional Climate modeling for the Developing World, the ICTP and RegCNET". *Bulletin of American meteorological society*. pp. 1396-1409.
- Schmidli, J., Goodess, C. M., Frei, C., Haylock, M. R., Hundecha, Y., Ribalaygua, J. and Schmitt, T. (2007). "Statistical and dynamical downscaling of precipitation". An evaluation and comparison of scenarios for the european Alps. *Journal of Geophysical Reserch*. Vol. 112.
- Turco, M., Zollo, A., Rianna, G., Cattaneo, L., Vezzoli, R. and Mercogliano, P. (2013). "Post-processing methods for COSMO-CLMprecipitation over Italy, Center Euro-Mediterraneo". *Research Papers*. Issue RP0171.
- Wallach, D., Makowski, D. and Jones, J.W. (2006). *working with dynamic crop models. Evaluation, analysis, parameterization and applications*. ELSEVIER. e-book.
- Zong, P. and Wang, H. (2011). "Evaluation and analysis of RegCM3 simulated summer rainfall over the Huaihe river of China". *Acta Meteorologica Sinica*. Vol. 25. pp. 386-394.